

تأثير الطلاء الانتشاري بالكروم في الفولاذ المنتج من مواد المساحيق

الدكتور المهندس عبد الله يوسف مجيد*

الملخص

تعد المعالجة الكيميا حرارية بالكروم على سطح الفولاذ المنتج من مساحيق المواد إحدى الطرائق الحديثة للمعالجة السطحية المستخدمة في تحسين الخواص الميكانيكية و التربولوجية لعناصر الآلات المعرضة للتآكل و الاهتراء. وتتحقق عملية المعالجة في وسط من كلوريد الكروم المتشكل عند ارتفاع درجات الحرارة.

درست سماعة طبقة الانتشار، التركيب الطوري والبنيوي و المسامية عبر عمق منطقة الانتشار، وقد أظهرت التجارب تأثير عملية الكرمنة في أثناء المعالجة والعوامل المختلفة مثل الزمن و المسامية ودرجة الحرارة في نمو الطبقة الانتشارية على سطح الفولاذ قليل و عالي الكربون.

تبين نتائج البحث أن طريقة المعالجة الانتشارية بالكروم لها تأثير كبير ومهم في قدرة عمل عناصر الآلات المعرضة للاحتكاك الجاف، إذ يزداد العمر الزمني للفولاذ المنتج من المساحيق والمعالج بالكرمنة نحو (3.5 - 2.5) مرة نتيجة لاستقرار طبقة الاحتكاك وتشكيل بنية ثانوية تعمل كمادة تزييت لزوج الاحتكاك، في حين تزداد مقاومة التآكل في أوساط كيميائية مختلفة نحو (10 - 20) مرة مقارنة بتلك المواد الملبدة حراريًّا فقط.

تشير نتائج البحث إلى إمكانية التكنولوجية لدمج عملية التبييد الحراري مع عملية الكرومة لتقليل التكالفة وتحسين الخواص التربولوجية ومقاومة التآكل لفولاذ المساحيق، وإمكانية استبدال الأجزاء الفولاذية المصنعة بالطرائق التقليدية بأجزاء أخرى مصنعة من مواد المساحيق.

الكلمات المفتاحية:

فولاذ مساحيق، تبييد، مسامية، كرمنة انتشارية، طبقات طلاء، قساوة مجهرية، بنية، مقاومة تآكل واهتراء، خواص ميكانيكية وترابيولوجية.

* أستاذ مساعد - قسم هندسة التصميم الميكانيكي - كلية الهندسة الميكانيكية والكهربائية - جامعة دمشق

1 - المقدمة

تأمين الدقة المطلوبة لها. وفي الواقع إنَّ عملية التلبيد الحراري Sintering تترافق بانكماش في الأبعاد الطولية، في حين تؤدي عملية المعالجة الكيميا - حرارية إلى زيادة هذه الأبعاد وبشكل غير كبير. تلك اللحظة أي التوافق بين زيادة الأبعاد من جهة ونقصانها من جهة أخرى ذات أهمية كبيرة، لأن زيادة أبعاد المنتج بعد عملية المعالجة الكيميا - حرارية على حساب دقة ودرجة التفاوت يكون في منتهى الصعوبة أو غير ممكنٍ ما دامت الطبقات الانتشارية في أغلب الحالات تؤدي إلى زيادة القساوة السطحية، ويمكن أن تؤدي السطح العامل لقالب التشكيل أحياناً.

وفي النهاية من الضروري تحديد أي نظام تكنولوجي Technological regime لعملية المعالجة الكيميا - حرارية الذي يمكن استعماله، وخاصة أوساط التشريب أو الانشمار، التي تسمح باستعمال الأفران الحرارية. وفي بحثنا هذا يطرح نفسه وسط التشريب (الإشباع) الصلب استخدمناه في تجاربنا العلمية، وذلك نظراً إلى بساطته وشموليته في الاستخدام على نطاق واسع في المصانع والورش التي تعتمد نظام المعالجات الحرارية والسطحية.

إن أوساط التشريب هذه تسمح بإشباع سطوح القطع أو المدمجات، أي تسمح بعملية انتشار عنصر الإشباع إلى داخل سطح المدمج عند نظام درجات الحرارة Temperature و زمن الصمود الحراري مما يؤدي إلى السماح بتأمين عملية المعالجة السطحية بالكروم والتلبيد الحراري معاً.

إن حل مثل هذه التساؤلات المشار إليها أعلاه هو الهدف Purpose من بحثنا هذا، والتي تتطلب بحوثاً تجريبية Practical Research كثيرة لتوفير المعطيات التي تسمح باختيار النظام المثالى

تعد عملية المعالجة الكيميا - حرارية Thermo-chemical treatment لمواد المساحيق Powder Materials واحدة من أكثر الطرائق فعالية في زيادة عمرها الزمني عند ظروف الاستثمار المختلفة ورفع الجدوى الاقتصادية وزيادة موثوقية Reliability عناصر الآلات والميكانيزمات ومن طبيعة المعالجة الكيميا - حرارية تغيير التركيب الكيميائى والبنية وخصائص الطبقات السطحية للمعدن ولاسيما تلك الطبقات السطحية العاملة ذات التركيز العالى في الإجهادات مما تؤدي إلى ظهور التشغقات وانتشارها وخاصة في إنشاء التآكل الكيميائى والاهتراء [1,2]. تعد هذه المعالجة وخاصة عملية الكرمنة Chromizing أي الطلاء الانتشاري Diffusion coating بالكروم ذات أهمية كبيرة لسماحها بدمج عملية التلبيد الحراري Sintering مع عملية المعالجة الكيميا - حرارية Chemical heat treatment للمساحيق المعدنية المتراسة ذات الأساس الحديدى في عملية واحدة، مقتصرین بذلك الزمن والتكلفة، وتكون هذه المنتجات صالحة للاستعمال دون الحاجة لعملية تشغيل أو إنهاء إضافية. كما أنه بعض النظر عن هذه الفكرة المعبأ عنها سابقاً [3,4]، إلا أنه فعلياً تحقيق دمج عملية التلبيد الحراري مع عملية الكرمنة إلى حد ما قد يكون نادراً، وذلك لعدم وضوح العلاقات التطبيقية لبعض التساؤلات المهمة:

أولاً - من الضروري معرفة هل تحقق المستوى المطلوب من الخواص الفيزيائية والميكانيكية Physical and Mechanical Properties لهذه المواد بعد عملية المعالجة الكيميا - حرارية .

ثانياً - من الضروري توضيح كيفية تغيير أبعاد المنتجات المعالجة بهذه الطريقة، وإمكانية

مسامية porosity وسطية على التوالي تتراوح بين (8-10% ، 12-14% and 20-22%) كما استخدم الفولاذ st.1040 المنتج بالطرائق التقليدية وذلك لمقارنة النتائج. ولإجراء اختبارات القساوة الميكروية السطحية والتأكل الكيميائي والاهتراء الميكانيكي استخدمنا عينات أسطوانية الشكل ذات قطر 15mm وارتفاع 10mm، وعينات عيارية قطر 15mm وارتفاع 20mm، وعينات عيارية قطر 15mm وارتفاع 10mm، وعينات عيارية قطر 15mm وارتفاع 20mm. لإجراء اختبار الشد وختبار الانحناء. استخدم لعملية التلبيذ الحراري فرن كهربائي Furnace ذو وسط محمي من الهواء الخارجي باستخدام غاز الهيدروجين عند درجة حرارة (1140 ± 20 °C) مدة ساعتين [7] وذلك حسب النظام المعياري لعملية التلبيذ الحراري بعد عملية التدمير بالكس على البارد مباشرة" Green compacting وأجريت عملية المعالجة الكيميا - حرارية بالكروم (الكرمنة) في فرن كهربائي عادي، إذ تراوحت درجة حرارة التجربة بين (1000 - 1150 °C) وتراوح زمن الثبات الحراري بين (2 - 6 h) وكان وسط الإشباع الانشراري خليطاً مؤلفاً من مساحيق الفرو كروم وأكسيد الألمنيوم ومواد منشطة، ووضعت العينات مع وسط الإشباع في حاويات محكمة الإغلاق بواسطة طبقة عازلة منصهرة مثل السيليكات [8].

درست القساوة الميكروية Microhardness بواسطة المجهر الضوئي نوع Galileo والمزود بجهاز لقياس القساوة Durametria الميكروية بطريقة فيكرز عند حمولة وقدرها 0.49 N وتكبير X400. وأجري اختبار الشد Tensile test وختبار الانحناء Bending test على آلة الاختبارات العامة Instron.

اخترت الخواص التربولوجية Tribological Properties على آلة الاحتاك عند سرعة انزلاق ثابت ($v = 1\text{m/sec}$) وضغط نوعي (1 MPa)، بحيث يكون الجسم الثابت هو العينات المعرضة لعملية الطلاء الانشراري بالكروم، أما

لodge Optimal system مع عملية الكرمنة وذلك حسب أنواع المواد المعرضة للمعالجة، وحسب أبعاد المدمعات المختلفة وحجمها وإمكانية أتمتها العملية Quantitative Automation عند الإنتاج الكمي production. كما أن المعالجة الانشرارية بالكروم Chromizing تعد واحدة من طرائق المعالجة الكيميا - حرارية المستخدمة في زيادة العمر الزمني لعناصر الآلات Machine elements حيث تؤمن طبقة الطلاء الانشراري بالكروم القساوة الميكروية السطحية ضد التأكل Michrohardness، والمقاومة العالية ضد الأكسدة في Corrosion resistance درجات الحرارة المرتفعة Oxidation والمقاومة Wear resistance الجيدة للاهتراء [5,6]. لذلك سوف نقوم بنسلط الضوء على هذه الطريقة للمعالجة السطحية والتي تعد واحدة من طرائق المعالجة السطحية الحديثة.

2 - الطرائق والمواد:

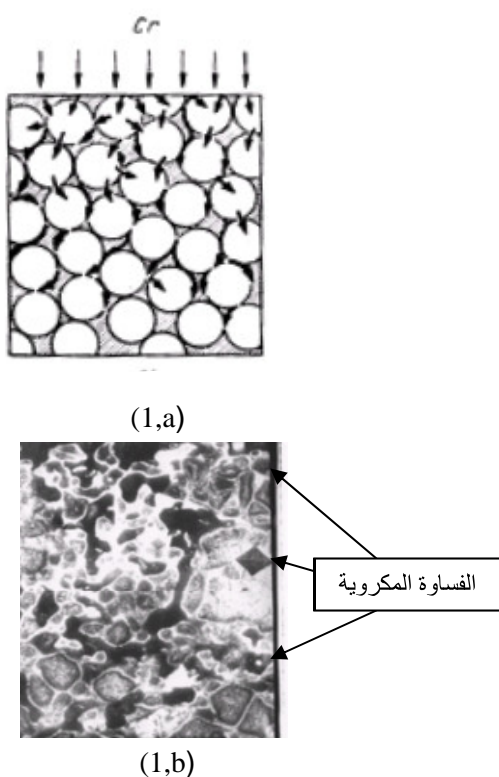
قمنا في هذا البحث باستخدام نوعين من الفولاذ الإلثائي المصنوع بطريقة ميتالورجيا المساحيق، أحدهما فولاذ متوسط الكربون والأخر فولاذ مرتفع الكربون، بحيث يكون التركيب الكيميائي مرتفع الكربون، بحسب الترتيب المعدني حسب الجدول رقم (1):

جدول رقم (1) التركيب الكيميائي لفولاذ المساحيق

نوع الفولاذ	النسبة الوزنية، wt%				
	Fe	C	Mn	Si	P <
Powder medium carbon steel	bal	0.3- 0.5	0.5	0.3	0.03
Powder high carbon steel	bal	0.9- 1.1	0.7	0.5	0.05

وقد تم ضغط Compaction العينات على البارد بواسطة المكبس الهيدروليكي بضغط نوعي يتراوح بين (300, 500 and 700 MPa) لتأمين

الكروم وغاز النشادر والهيدروجين الذي يحترق داخل حجرة الفرن أمّا الكروم الذري $[Cr]_{atom}$ فإنه ينتشر ويتجعل إلى داخل العينة عبر السطح Bulk Surface diffusion وعبر الحجم diffusion كما هو مبين في الشكل (1a&b). ويلاحظ من الشكل (1,a) رسم توضيحي لعملية انتشار الكروم في الجسم المسحوقي، إذ يبيّن الشكل أن الانتشار عبر السطح وعبر الحجم يكون أسهل وسماكة الطبقة المكرومة تكون أكبر لوجود المسامات (الفراغات) بين الجزيئات مما هو عليه عند الفولاذ التقليدي، أمّا الشكل (1,b) فيظهر البنية المجهرية لطبقة الطلاء مع عملية تغلغل وانتشار الكروم وقياس القساوة الميكروية.



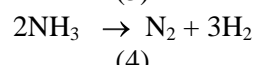
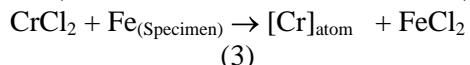
الشكل (1a&b) رسم تخطيطي لعملية انتشار الكروم في الفولاذ المنتج من المساحيق (1,a) والبنية الميكروية (1,b) مع قياس القساوة الميكروية X400

ويسمى هذا التفاعل بالتفاعل التبادلي (الإحلالي) Substitutional reaction أي تحل ذرة الكروم

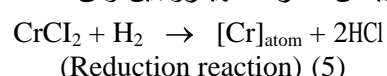
الجسم الدوار فهو عبارة عن قرص من الفولاذ السبائك المقسى، الذي تصل قساوته إلى HRC 60 – 58، وكانت شروط التجربة هي اهتماء جاف أي إنّ (الوسط - هواء)، بحيث تم قياس قطر فتحة الاهتمام بواسطة ميكرومتر رقمي. كما درست مقاومة التآكل الكيميائي Corrosion resistance باستخدام أوساط أكالة مشابهة للظروف الطبيعية والصناعية مثل ماء البحر Sea water ومحلول حمض الكبريت الممدد بالماء بنسبة 10% H_2SO_4 وشروط التجربة هي درجة حرارة الغرفة ($25^{\circ}C$) والضغط الجوي (1atm) أمّا زمن التجربة فيتراوح بين (24) – 120 h وقد تم قياس شدة التآكل بالطريقة الوزنية، بحيث وزنت العينة قبل التجربة وبعد التجربة ثم قسم فارق الوزنين على السطح الكلي للعينة.

3 - النتائج والمناقشة:

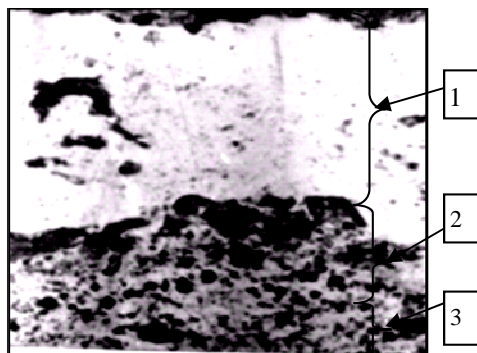
أجريت عملية الكرمنة عند درجات حرارة تراوحت بين $1000-1150^{\circ}C$ وזמן ثبات حراري يتراوح بين 6 – 2 h، إذ تزداد سماكة الطبقة الانتشرية بزيادة درجة الحرارة و الزمن، أمّا عملية الانتشار فتتم بتحويل الكروم إلى كروم ذري $[Cr]_{atom}$ حر يتشكل عند درجات الحرارة العالية وفق التفاعلات الكيميائية الآتية [1,5,8]:



ويمكن اختزال الهيدروجين وفق التفاعل الآتي:



يبدأ التفاعل (1) و (4) في أثناء عملية تسخين خليط الإشباع عند درجة حرارة $T_{work} > 400^{\circ}C$ أمّا بقية التفاعلات فتحث عند درجة حرارة $T > 700^{\circ}C$ وبالنتيجة يتشكل كلورايد



(2,b) PM/ medium carbon steel

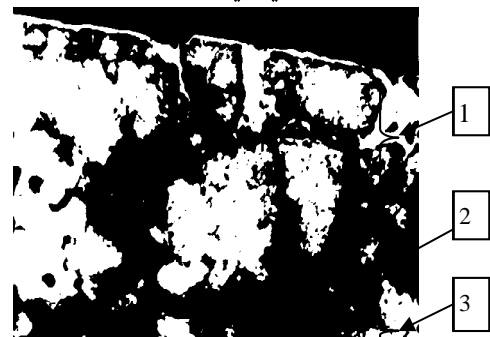
الشكل (2a&b) البنية الميكروية X400 لطبقة الانتشار بالكروم للفولاذ المنتج من المساحيق ($T=1050^{\circ}\text{C}$, 4h)

1 - سماكة طبقة الانتشار بالكروم، 2 - المنطقة البنية الفريتية، 3 - المنطقة الداخلية (اللب)

وقد تبين لنا في هذا البحث أن سماكة طبقة الانتشار بالكروم أكبر بنحو 30% في النماذج المحضرة بالضغط Compaction والخضراء Green Compact، أي التي لم تتعرض لعملية تلبيد حراري مسبق Sintering ثم تعرضت لعملية الكرمنة Chromizing مباشرة (دمج عمليتي المعالجة بعملية واحدة)، من سماكة الطبقة الانتشارية بالكروم عند النماذج المعرضة لعملية معالجة على التوالي: التلبيد الحراري من جهة وفق النظام المعياري ($T=1140 \pm 20^{\circ}\text{C}$, $\tau=2\text{h}$) ثم أتتبت بعملية الكرمنة من جهة أخرى.

يبين الشكل (3, a) علاقة تغير الزمن بسماكة الطبقة السطحية المشبعة بالكروم عند درجة حرارة ثابتة أي $T=\text{const}$, حيث أظهرت النتائج ارتفاع سماكة طبقة الإشباع بالكروم مع زيادة الزمن، أما الشكل (3, b) فيبيّن علاقة تغير درجة الحرارة بسماكة طبقة الانتشار بالكروم وذلك عند زمن ثابت $\tau=\text{const}$. إن تأثير الحرارة وزمن التسريب saturation في سماكة الطبقة السطحية المشبعة بالكروم يتعلّق بشكل مباشر بالتركيب الكيميائي للسبيكة، فكلما ازداد محتوى الكربون

محل ذرة الحديد، ومن ثم ينتشر الكروم على شكل محلول صلب للكروم في الهيكل الشبكي للحديد $\alpha\text{-Fe}$ ، ويعدُّ الكروم شرهاً للكربون الموجود في الحديد ولا سيما عند الفولاذ الكربوني لأن زيادة نسبة الكربون في الفولاذ تؤدي إلى تشكيل كربيدات الكروم وال الحديد من نوع $(\text{Cr},\text{Fe})_3\text{C}_{23}$ ($\text{Cr},\text{Fe})_6\text{C}_{23}$) التي تتوضع على حدود الحبيبات، كما أن وجود النيتروجين قد يؤدي إلى الانتشار داخل الحديد مشكلاً كربوناتrid Carbonitrides $(\text{Cr},\text{Fe})_2(\text{C},\text{N})$ الحديد والكروم [9]. أمّا في حال عملية الطلاء الانتشاري بالكروم للفولاذ قليل ومتوسط الكربون، فإن الطبقة السطحية تحتوي على محلول صلب لكربيدات الهيكل الشبكي للحديد $\alpha\text{-Fe}$ ولا وجود لكربيدات الكربون، وتكون سرعة انتشار الكروم في الفولاذ العالي الكربون أقل بكثير من سرعة انتشاره في الفولاذ قليل الكربون، لذلك تتناقص سرعة انتشار الكروم مع ارتفاع محتوى الكربون في الفولاذ كما هو موضح في الشكل (2a&b). وتزداد سماكة الطبقة الانتشارية بالكروم بارتفاع درجة الحرارة وزيادة الزمن، والتي تحدد بواسطة المجهر الضوئي إذ تنصف علاقة درجة الحرارة بسماكة طبقة الانتشار بصفة الدالة الأسية Exponential Function، أمّا علاقة الزمن بسماكة الطبقة الانتشارية فتحمل صفة دالة القطع المكافئ Parabola Function كما في الشكل (3a&b) وهذا ما يجيب عن التصور العام المتعارف عليه لحركة الانتشار الإشعاعي في المواد المعدنية.



PM/ high carbon steel (2,a)

تزداد بسبب زيادة سرعة انتشار الكروم على شكل محلول جامد للكروم في الهيكل الشبكي للحديد α -Fe وتصل القساوة السطحية للطبقة المكرمنة هنا إلى $8000 - 10000 \text{ MPa}$. ويمكن ملاحظة أن انتشار الكروم يكون سريعاً بين حبيبات العينة المشكلة بطريقة ميتالورجيا المساحيق وعبر سطح الحبيبة وذلك بسبب وجود الفراغات الكثيرة (المسامات) بين الحبيبات مقارنة بالفولاذ المصنع بالطرائق التقليدية الذي يكون مصمتاً أي دون مسامات أي إنه كلما كانت الكثافة النسبية أكبر (المسامية أقل) كانت سماكة الطبقة المشبعة بالكروم أقل كما هو موضح في الشكل (4).

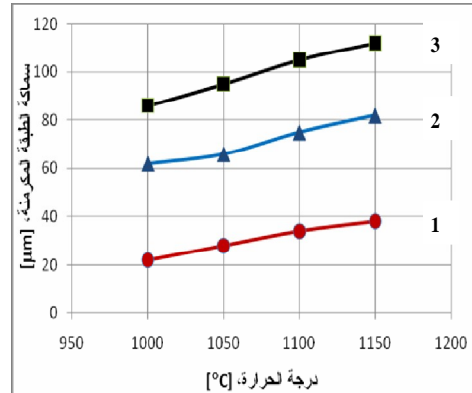
تشكل عند عملية المعالجة بالكروم Chromizing للمواد الحديدية الكربونية ثلاثة مناطق:

1 - المنطقة الأولى: وهي طبقة الكربيدات $(\text{Cr},\text{Fe})_3\text{C}_7$ و $(\text{Cr},\text{Fe})_6\text{C}_{23}$ على السطح المعالج مباشرة.

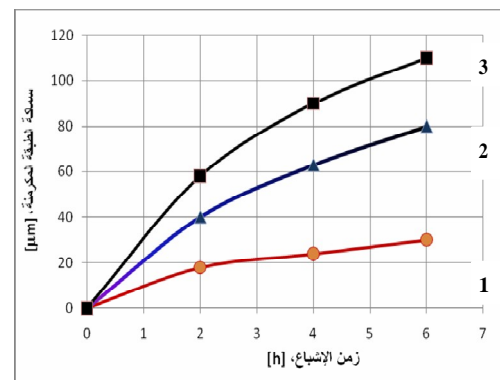
2 - المنطقة الثانية: وهي المنطقة الانتقالية تكون فقيرة بعنصر الكربون C، والتي هي عبارة عن منطقة فريتية Ferrite ذات سماكة أكبر بنحو مرتين إلى ثلاثة مرات من سماكة الطبقة السطحية Surface layer وهي عبارة عن محلول الكروم الصلب Solid solution في الهيكل الشبكي للحديد α .

3 - المنطقة الثالثة: وهي المنطقة الداخلية وتسمى بمنطقة الأرضية Matrix ذات البنية الفريتية - البريليتية كما هو مبين في الشكل (2a&b).

C% نقصت سماكة الطبقة المشبعة بالكروم، وذلك بسبب تشكيل كربيدات الكروم والحديد، مما يؤدي إلى تراص طبقة الانتشار وتسوية الطبقة السطحية فتصبح أكثر نعومة.



الشكل (3,a)



الشكل (3,b)

الشكل (3a&b) تأثير زمن الكرمنة ودرجة الحرارة على سماكة طبقة الانتشار

(a) عند ثبات درجة الحرارة $T=\text{const} = 1100^\circ\text{C}$

(b) عند ثبات الزمن $\tau = \text{const} = 4 \text{ h}$

1- traditional st.1040 (Ø), 2- PM/ High carb. Steel (Δ), 3- PM/ medium carb. Steel (□)

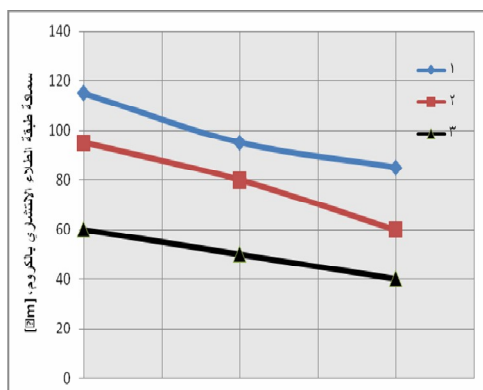
كما تزداد القساوة السطحية المجهرية لتصل إلى 13000 - 15000 MPa عند الفولاذ العالي الكربون وتنقص القساوة السطحية هذه عبر العمق لأنخفاض نسبة الكربون في المنطقة الانتقالية أمّا عند الفولاذ المتوسط الكربون $C= (0.3 - 0.5)\%$ فإن سماكة الطبقة السطحية

بين الحبيبات تأخذ في الاستدارة وفي النهاية فإن الفراغات البينية تصبح على هيئة مسام كروية.

جدول (2) علاقة تغير الأبعاد والكثافة النسبية بعملية الكرمنة عند $T = 1050^{\circ}\text{C}$

المسامية، %	الكثافة النسبية	القطر، mm	زمن المعالجة، h	الكثافة النسبية	القطر، mm	No
20- 22	0.796	12.06	2	0.795	12.05	1
	0.799	12.07	4	0.785	12.04	2
	0.797	12.14	6	0.795	12.05	3
12- 14	0.879	12.06	2	0.876	12.06	4
	0.881	12.11	4	0.877	12.05	5
	0.879	12.02	6	0.867	12.05	6
8- 10	0.911	12.07	2	0.901	12.05	7
	0.905	12.07	4	0.904	12.05	8
	0.921	12.05	6	0.920	12.06	9

أما الشكل (5a&b) فيظهر الخواص الميكانيكية للفولاذ متوسط وعالي الكربون، حيث يبيّن الشكل (5,a) علاقة مقاومة الانحناء Bending strength أمّا الشكل (5,b) فيبيّن علاقة مقاومة الشد Tensile strength وفق النظام المعياري Sintering (1140°C, 2h) لعملية تلبيد الخلائط الحديدية في وسط محمي من الهيدروجين، وكذلك لعينات معالجة بالكرمنة (1050°C, 4h) عند نظام معالجة Chromizing بعد عملية تدميجهما على البارد مباشرة أي تم دمج عملية المعالجة (تلبيد + كرمنة) في عملية واحدة بحيث كانت المسامية ($P = 12-14\%$) وقد لوحظ من الشكل أن مقاومة الشد ومقاومة الانحناء واحدة تقريباً لكلا نظامي المعالجة.



الشكل (4) علاقة سماكة الطبقة المكرمنة بالمسامية و بدرجة الحرارة عندما $\tau = 6 \text{ h}$

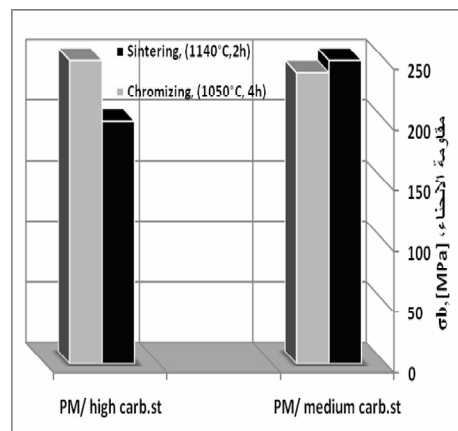
(Δ) 1000°C - 3 (□) 1050°C - 2 (◊) 1100°C - 1

تشير نتائج البحث إلى أن التغيير في الأبعاد الهندسية، مثل الارتفاع والقطر للنماذج المختبرة تتعلق بالمسامية Porosity وبنظام المعالجة الكيمياء- الحرارية بالكريوم Chromizing. إن هذه التغييرات في الأبعاد لا تحمل دائماً خواصاً متشابهة لأن عملية التلبيد الحراري وعملية الإشباع الانشراري تؤثر في تغيير الأبعاد في اتجاهات مختلفة، ومن الصعب سابقاً التنبؤ بالتأثيرات كلها، وتشير دلائل قياس الأبعاد إلى تغير في الارتفاع باتجاه الزيادة أو النقصان بسبب الانكماس الحاصل بينما يزداد القطر بسبب زيادة سماكة الطبقة السطحية المكرمنة، ويكون المعدل النسبي في الزيادة أو النقصان للأبعاد بحدود $(2-3)\%$ لجميع المواد المعالجة بالكرمنة. حيث يتناسب هذا التغيير والتفاوت المسموح به مع المرتبة الثانية أو الثالثة من دون أي عملية تشغيل إضافية مثل الجلح أو الصقل... الخ، كما نلاحظ تناقضاً في المسامية أي زيادة في الكثافة النسبية كما هو مبين في الجدول (2) بسبب تشكيل الرقاب Necks بين الحبيبات عند نقاط التلامس، وهذه الرقاب تأخذ في الكبر بصورة متزايدة. ونتيجة لذلك فإن الزوايا الحادة

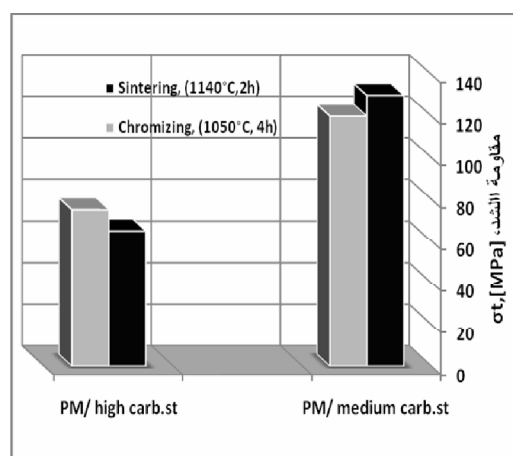
التي تزيد من مقاومة الاهتراء، حيث تصل القساوة السطحية لطبقة الطلاء الكرومي إلى 13000 - 15000 MPa وهي ذات لدونة جيدة وتماسك كبير مع مادة الأساس plasticity مما تسمح بتأمين مقاومة اهتراء عالية Matrix wear resistance. وتؤثر بنية المادة تأثيراً كبيراً في مقاومة الاهتراء للمواد المختلفة، غير أن تأثيرها يكون أقل من تأثير القساوة السطحية [10, 11,12]. وقد أثبت الباحث [13] أن قساوة المادة تتعلق بطاقة الارتباط في البنية البلورية crystalline Structure وتأثر إلى حد كبير في مقاومة الاهتراء حتى وذلك بشرط أن قساوة المادة الحاكمة abrasive material أعلى بكثير من قساوة المادة المتأكلة.

وبالنتيجة تنشأ نواتج البنية الثانوية Secondary Product بشكل سريع، وهي ناتجة عن الاحتاك الشكل مباشر وعن النشاط الانتشاري ولاسيما الذي يظهر في المواد المتباينة الخواص Heterogeneous materials، مما يؤدي إلى تشكيل فقرات موضعية في تغير الطاقة الحرية السطحية.

يظهر الشكل (6) نتائج التجارب الحاصلة على مقاومة الاهتراء الجاف wear للعينات specimens المعرضة لعملية التلبيد الحراري وفق النظام المعياري، ولعينات أخرى معالجة بالكرمنة مباشرة بعد عملية الترافق على البارد (خضراء Green compact). اختبرت الخواص التربولوجية للمواد المدرستة على آلية الاهتراء عند سرعة انزلاق ثابتة $v=1\text{m/sec}$ ومحولة نوعية $P=1 \text{ MPa}$ واستخدمت العينات المعالجة بالكرمنة أو بالتلبيد كجسم ثابت في حين القرص الحاك هو من الفولاذ السبائك المقسى الذي يدور بسرعة منتظمة، ويصل طول طريق الاحتاك إلى 1 Km. وقد تم قياس قيمة الاهتراء حجمياً



الشكل (5,a) مقاومة الانحناء



الشكل (5,b) مقاومة الشد

الشكل (5 a&b) الخواص الميكانيكية للفولاذ

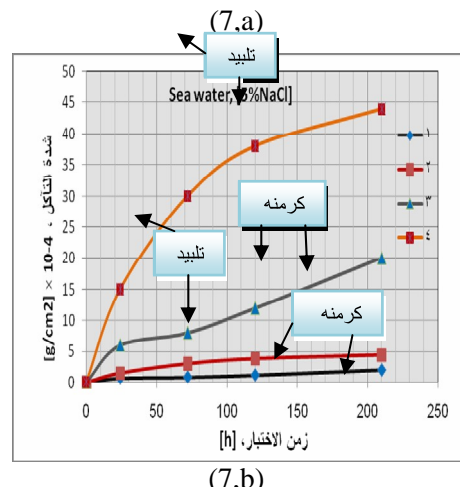
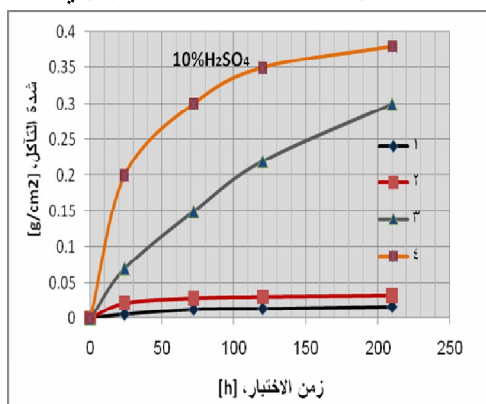
متوسط و عالي الكربون

- الملبد حرارياً (1140°C, 2h) قاتم اللون Sintering,

- المعالج بالكرمنة Chromizing, عند نظام (1050°C, 4h) فاتح اللون .

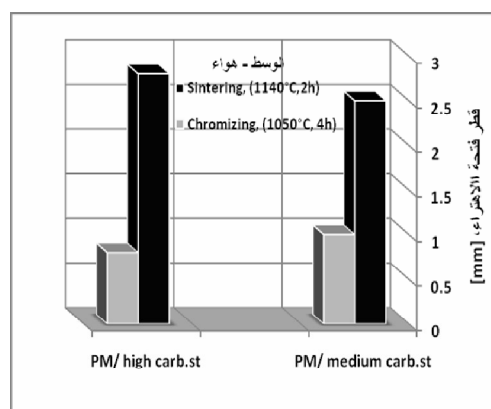
تعمل مقاومة التآكل الاحتاكي للطبقة السطحية المكرمنة بشكل أساسى بعوامل الاحتاك المؤثرة في أجزاء الآلات التي تعمل عند الاحتاك حتى أو ما يسمى بالاهتراء الحراري abrasive wear، ومن المعروف أن الاهتراء الحراري يؤدي بشكل عام إلى انهيار أجزاء الآلات ذات المراكز الاحتاكية wear centered وفشلها، لذلك كانت زيادة القساوة السطحية microhardness واحدة من العوامل الأساسية

الناتج على مساحة السطح الكلي. وبين الشكل (7a&b) نتائج الاختبار الاختبارات الحاصلة، وذلك في أوساط عادئية صناعية منها الأوساط الحمضية مثل حمض الكبريت الممدد بنسبة 10% H_2SO_4 كما هو مبين في الشكل (7,a)، وفي وسط قلوي مثل ماء البحر بتركيز 5% $NaCl$ كما هو مبين في الشكل (7,b). وقد أظهرت نتائج البحث أن مقاومة التآكل الكيميائي للفولاذ في جميع شروط المعالجة بالكرمنة تكون أعلى بنحو (10 - 20) مرة من مقاومة التآكل الكيميائي للعينات المعرضة لعملية التأثير الحراري فقط.



الشكل (7a&b) شدة التآكل الكيميائي لفولاذ المساحيق (P=12-14%) الملبد حرارياً (1140°C, 2h) وآخر المعالج بالكرمنة (1050°C, 4h)
(a) 5%NaCl - (b) 10% H_2SO_4
- معالجة بالكرمنة: 1 - فولاذ عالي الكربون (□)
2 - فولاذ متوسط الكربون (□).
- تأثير حراري: 3 فولاذ عالي الكربون (△)
4 - فولاذ متوسط الكربون (□).

بمساعدة المجهر الضوئي من خلال قياس قطر حفرة التآكل. حيث يدل كبر حفرة التآكل على نقصان مقاومة الاهتراء. وقد أظهرت نتائج البحث أن مقاومة الاهتراء الجاف في جميع شروط المعالجة بالكرمنة تكون أعلى بنحو (3.5 - 2.5) مرة من مقاومة الاهتراء للمواد الملبدة حرارياً فقط.



الشكل (6) مقاومة الاهتراء الجاف (الوسط - هواء)
لفولاذ متوسط وعالي الكربون (P=12-14%)

- الملبد حرارياً عند (1140°C, 2h) القائم اللون

- المعالج بالكرمنة عند (1050°C, 4h) الفاتح اللون.

تعلق مقاومة التآكل الكيميائي بسمك الطبقة المكرمنة وبالتركيب الكيميائي والطوري [14,15]، كما تتعلق بمسامية المدمجات وبنظام عملية الإشباع الانتشاري بالكاروم. اختبرت مقاومة التآكل الكيميائي Corrosion resistance للعينات الفولاذية المصنعة بأسلوب ميتالورجيا المساحيق specimens المعرضة لعملية التأثير الحراري وفق النظام المعياري، ولعينات أخرى معالجة بالكرمنة بعد عملية الضغط على البارد (حضراء) مباشرة، حيث حدثت شدة التآكل الكيميائي Corrosion intensity بالطريقة الوزنية وذلك بوزن العينات قبل الاختبار وبعده بواسطة ميزان تحليلي بدقة تصل إلى 0,001 g، بحيث تغلق العينات بواسطة تيار مائي شديد لإزالة منتجات التآكل الكيميائي عن سطح العينة ثم تُجفَّ بواسطة مجفف هواء. وتحسب شدة التآكل بقياس فارق الوزن قبل الاختبار وبعده، ثم يقسم

4 الاستنتاجات:

- بالكرمنة بـ (3.5 – 2.5) مرة مقارنة بالمواد المعرضة لعملية التثبيت فقط.
8. تزداد مقاومة التآكل الكيميائي في أوساط عادئية مختلفة مثل حمض الكبريت الممدد $10\% \text{H}_2\text{SO}_4$ وماء البحر 5% NaCl للعينات الفولاذية المنتجة من المساحيق والمعرضة لعملية الطلاء الانتشاري بالكروم نحو (10–20) مرة عن مقاومة التآكل الكيميائي للعينات الملبدة حرارياً وفق النظام المعياري فقط.
9. تشير نتائج البحث إلى إمكانية دمج عملية التثبيت الحراري مع عملية الكرمنة في دورة واحدة.

5 - النتيجة:

يمكن التوصية باستخدام الطلاء الانتشاري بالكروم للفولاذ المنتج من المساحيق كبديل عن الفولاذ المصنع بالطرائق التقليدية المستخدم في عناصر الآلات، لتحسين الخواص الميكانيكية والكيميائية والترابيبولوجية المختلفة، كما أنه يعُدّذا جدوى اقتصادية كبيرة لسماحه بدمج عملية التثبيت الحراري مع عملية المعالجة الكيميا - حرارية لمدمجات الفولاذ في عملية واحدة.

1. إن استخدام عملية الطلاء الانتشاري بالكروم في الفولاذ المنتج من المساحيق يؤدي إلى زيادة القساوة السطحية لطبقة الطلاء إلى نحو $13000 - 15000 \text{ MPa}$.
2. تشير نتائج البحث إلى أن التغير في الأبعاد الهندسية تتعلق بالمسامية Porosity وبنظام المعالجة الكيميا - حرارية بالكروم Chromizing حيث تزداد الأبعاد بحدود 2% – 3% للمواد المعالجة بالكرمنة جميعها وهذا التفاوت المسموح فيه Tolerance يكون من المرتبة الثانية أو الثالثة.
3. تتعلق سماكة الطبقة الانتشارية بالكروم بالمسامية وبدرجة الحرارة ويزمن الإشباع.
4. تؤول علاقة الزمن بسماكة طبقة الانتشار إلى صفة الدالة الأسيّة، أمّا علاقة درجة الحرارة بسماكة الطبقة الانتشارية فتحمل صفة دالة القطع المكافئ.
5. تتعلق سماكة الطبقة الانتشارية بالكروم بشكل مباشر بالتركيب الكيميائي للسبائك، فكلما ازداد محتوى الكربون %C والعناصر السبائكية الأخرى، نقصت سماكة الطبقة المشبعة بالكروم بسبب تشكيل الكربيدات المختلفة.
6. أثبتت نتائج البحث أن مقاومة الشد ومقاومة الانحناء للعينات الملبدة حرارياً وفق النظام المعياري والعينات المعالجة بالكرمنة بعد عملية الضغط على البارد مباشرة هي تقريباً واحدة لكلا نظامي المعالجة.
7. تزداد مقاومة الاهتزاء في ظروف الاحتكاك الجاف (الوسط هواء) للمواد المعالجة

المراجع

1. Borisinuk G.F, Vasiliev L.A, Vorshnin L.G. and others, " thermochemical of metals and alloys", pp. 432,- Moscow, (1991). USSR
2. Majeed A.Y., Labunets V.F., " Surface hardening of powder materials". 5th International science and techniques conference AVIA2003, vol.3, pp. 3557- 3560. (2003). Ukraine.
3. " Powder Metal technologies and applications", vol.7 of ASM Handbook, pp. 2762,(1998). USA
4. Suhei Nakahama, Katsuhiro Saitoh and Masamichi Kawasaki," Chromized coating of preventing high – temperature sulfidation corrosion of FCC power recovery turbine" Corrosion 2000, Orlando, (2000). USA
5. Kasprzcka Ewa, Bogdanski Bogdan and others," Chromized layers produced on steel surface by means of CVD", Transactions of materials and heat treatment proceedings of the 14th IFHTSE congress, Vol.25, No.5, (2004). Poland
6. Z.B. Wang, J.Lu, K. Lu, "Chromizing behaviors of a low carbon steel processed by means of surface mechanical attrition treatment". Journal Acta Materialia 53, pp.2081 – 2089. Elsevier science (2005). China
7. Melnik P.I, "Technology of diffusion coating", pp.150.- Kiev, (1978). USSR
8. Udovitski V.I." Porosity of composite coating", pp. 144.- Moscow, (1991). USSR
9. Nikolas Floyd," Performance of chromized and aluminized carbon steel samples in alkaline solution"
- Virginia polytechnic institute and state university, SURF2007 Fellow, (2007).USA
10. Kasprzcka E., senatorski J. and others," Diffusion layers produced on carbon steel surface by means of vacuum chromizing process". Journal, vol.12,No.6,(2007). Springer New York
11. Ozkan Ozdemir, Saduman Sen and Ugur Sen " Formation of chromium nitride layers on AISI 1010 steel by nitro-chromizing treatment", Esentepe Campus,-Sakarya, (2006) Turkey.
12. R. Chattopadhyay," SURFACE WEAR: Analysis, Treatment and Prevention".- Ohio.ASM International 2001
13. Saduman Sen, Ugur Sen," The effect of boronizing and boro-chromizing on tribological performance of AISI 52100 bearing steels", journal of Industrial Lubrication and Tribology,vol.61, issue 3, pp. 146 – 153, (2009) Emerald Group Publishing Limited.
14. Jyh-Wei Lee, Jenq-Gong Duh and Shu-Yueh Tsai," Corrosion resistance and microstructural evaluation of the chromized coating process in a dual phase Fe---Mn---Al---Cr alloy", Surface and Coatings Technology ,Vol. 153, Issue 1, pp. 59-66, (2002) Taiwan.
15. Vikas R Behrani, "Corrosion Behavior of Aluminized and Chromized Carbon Steel in Fluctuating Oxidizing-Sulfidizing Environments", Georgia Institute of Technology, 2007. NACE International.